

زمین‌شیمی و محیط زمین‌ساختی گرانیت گنایس‌های آبادچی، شمال شهرکرد

فریبا ریاحی سامانی، ناهید شبانیان بروجنی*، علیرضا داوودیان دهکردی

دانشکده منابع طبیعی و علوم زمین، دانشگاه شهرکرد

(دریافت مقاله: ۹۶/۱/۲۳، نسخه نهایی: ۹۶/۵/۷)

چکیده: توده‌ی گرانیت گنایس منطقه آبادچی (مجاور سد زایندرون) بخشی از پهنه زمین‌ساختی سندج - سیرجان است. ترکیب کانی‌شناسی این توده‌های گرانیت گنایسی شامل کوارتز، فلدسپات پتاسیم، پلازیوکلаз، بیوتیت و موسکویت و کانی‌های فرعی کدر، زیرکن، آمفیبول و آلانیت است. سنگ‌های گرانیت گنایسی مورد بررسی تحت تاثیر دگرشکلی دینامیک و دگرنهادی ضعیف سدیمی واقع شده‌اند. این سنگ‌ها از نظر زمین‌شیمی کلسیمی تا آهکی- قلیایی، آهن‌دار تا منیزیم‌دار، پرآلومین تا کمی متآلومین و از نوع A تا I هستند. نمودار REE بهنجارشده به کندریت غنی‌شدگی LREE‌ها را نسبت به HREE‌ها همراه با ناهنجاری منفی Eu نشان می‌دهند. این سنگ‌ها در نمودارهای عنکبوتی بهنجار شده نسبت به مانتوی اولیه غنی‌شدگی نسبی در LILE و LREE نسبت به HFSE را نشان می‌دهند که این امر اشاره به سنگ‌های ماغمایی و استه به کمان و محیط‌های برخورده دارد. این گرانیت گنایس در جایگاه زمین‌ساختی پس از برخورد تشکیل شده‌اند.

واژه‌های کلیدی: گرانیت گنایس؛ گرانیت نوع ۴؛ زمین‌شیمی؛ آبادچی؛ پهنه ساختی سیرجان.

بخار/ محلول‌های آبکی قابل دسترس و یا آب آزاد شده از طریق ذوب پسازش کانی‌های آبدار مثل آمفیبول‌ها و میکاها) بستگی دارد [۴].

گرانیت‌ها در محیط زمین‌ساختی پس از برخورد طی فرآیندهای گرمایی و ماغمایی در پوسته قاره‌ای به شدت دگرشکل شده و از نظر ترکیبی متنوع ظاهر می‌شوند که سنگ‌زایی و جایگیری گرانیت‌ها در چنین محیط زمین‌ساختی یکی از چالش‌هایی است که درک روشنی از آن نیست [۴].

فعالیت ماغمایی پس از کوه‌زایی توسط فراورده‌های متنوع زمین‌شیمیایی و سنگ‌شناسی مشخص می‌شود [۵]، به طوری که از آهکی- قلیایی (پتاسیم پایین تا پتاسیم بالا و شوشونیتی) تا قلیایی تغییر می‌کند [۶، ۷] خاستگاه فعلیت ماغمایی پس از کوه‌زایی متفاوت است: الف- مانتوی آستنوسفری عمیق [۸] ب- مانتوی سنگ‌کرمه‌ای [۹، پ] پوسته قاره‌ای بالایی و پایینی که در معرض ذوب پاره گدازشی قرار می‌گیرد [۱۰] یا آلودگی

مقدمه

سنگ‌های گرانیتی سرخ‌های مهمی از رشد و بازسازی پوسته قاره‌ای، زمین‌ساخت منطقه‌ای و فرآیندهای زمین‌دینامیکی سراسر محیط زمین‌ساختی از کافت‌های قاره‌ای و اقیانوسی، کرانه‌های قاره‌ای فعال، پهنه‌های برخورد قاره‌ای و موقعیت پس از برخورد تا موقعیت درون صفحه‌ای ارائه می‌دهند [۴-۱]. ناهمگنی‌های زمین‌شیمیایی و سنگ‌شناسی در گرانیت‌وئیدها ناشی از خاستگاه‌های متفاوت آنهاست. گرانیت‌وئیدها می‌توانند نتیجه ذوب رسوبات (برای مثال: ورقه‌ها و ماسه‌سنگ‌ها)، سنگ‌های دگرگونی (برای مثال، میکاشیست‌ها و گنایس‌ها) و سنگ‌های آذرین (برای مثال: آندزیت‌ها، داسیت‌ها و تونالیت‌ها) می‌باشند [۴].

سنگ‌زایی گرانیت به خاستگاه بارور (خاستگاهی که قابلیت ایجاد گدازه گرانیت‌وئیدی را داشته باشد)، گرما (افزایش ذوب- شدگی پروتولیت) و در دسترس بودن آب (به صورت

زمین‌شناسی منطقه

منطقه مورد بررسی در شمال دریاچه سد زاینده‌رود در حدود ۴۵ کیلومتری شمال شهرکرد در گسترهای با مختصات $44^{\circ}43'43''$ تا $40^{\circ}50'25''$ شرقی و عرض جغرافیایی " $32^{\circ}46'11''$ تا $32^{\circ}46'11''$ شمالی قرار دارد. این منطقه بخشی از پهنه زمین ساختاری سنندج - سیرجان است (شکل ۱). در پهنه سنندج-سیرجان، پدیده‌های دگرگونی، فعالیت ماقمایی و زمین‌ساخت پی‌درپی و هماهنگ با فازهای زمین‌ساخت شناخته شده در مقیاس جهانی در بیشترین مقدار دیده شده است. از این‌رو، این پهنه ناآرام‌ترین و پویاترین پهنه‌ی زمین‌ساختی ایران است [۳۴]. این منطقه در پهنه برشی شهرکرد واقع است که منجر به تشکیل سنگ‌های میلیونی در این ناحیه شده است.

پهنه دگرگونی سنندج - سیرجان (SSMZ) بخشی از کوهزاد زاگرس است. کوهزادی زاگرس با روند شمال غربی-جنوب‌شرقی در غرب ایران بخشی از کمربند کوهزادی آلب هیمالیاست [۳۹-۳۵].

کمربند کوهزادی زاگرس از چهار پهنه زمین‌ساختی موازی با روند شمال‌شرقی به جنوب‌غربی ایجاد شده که شامل: (۱) کمان ماقمایی ارومیه- دختر، (۲) پهنه دگرگونی سنندج- سیرجان (۳) کمربند چین- تراست زاگرس و (۴) حوضه جلوی کمان خلیج فارس- بین النهرين [۳۷، ۳۸] است. این پهنه دارای روند شمال غربی- جنوب شرقی و طول ۱۵۰۰ کیلومتر در عرض ۱۵۰ تا ۲۰۰ کیلومتر است. پهنه دگرگونی سنندج- سیرجان یک پهنه نوار دگرگونی با رخساره شیست سیز \pm آمفیبولیت است که در اثر برخورد بین قاره آفریقایی- عربی و خرد قاره ایران در طول کرتاسه- سنوزوئیک تشکیل شده است (برای مثال، [۳۶، ۴۰-۴۲] را ببینید). علاوه بر این، پهنه سنندج - سیرجان یک منطقه تغییر شکل چند مرحله‌ای است، که جوان‌ترین فاز آن نشان دهنده برخورد قاره عربی با اوراسیا است و توالی جنوبی بعدی از کمربند چین- روراندگی [۳۷] با پهنه دگرگونی سنندج- سیرجان به صورت یک حصار شکل‌پذیر عمل می‌کنند [۴۳]. پهنه سنندج - سیرجان را به ترتیب از جنوب غرب به شمال شرقی به پنج زیر پهنه تقسیم کرده‌اند: (۱) واحد رادیولاریتی، (۲) واحد بیستون، (۳) واحد

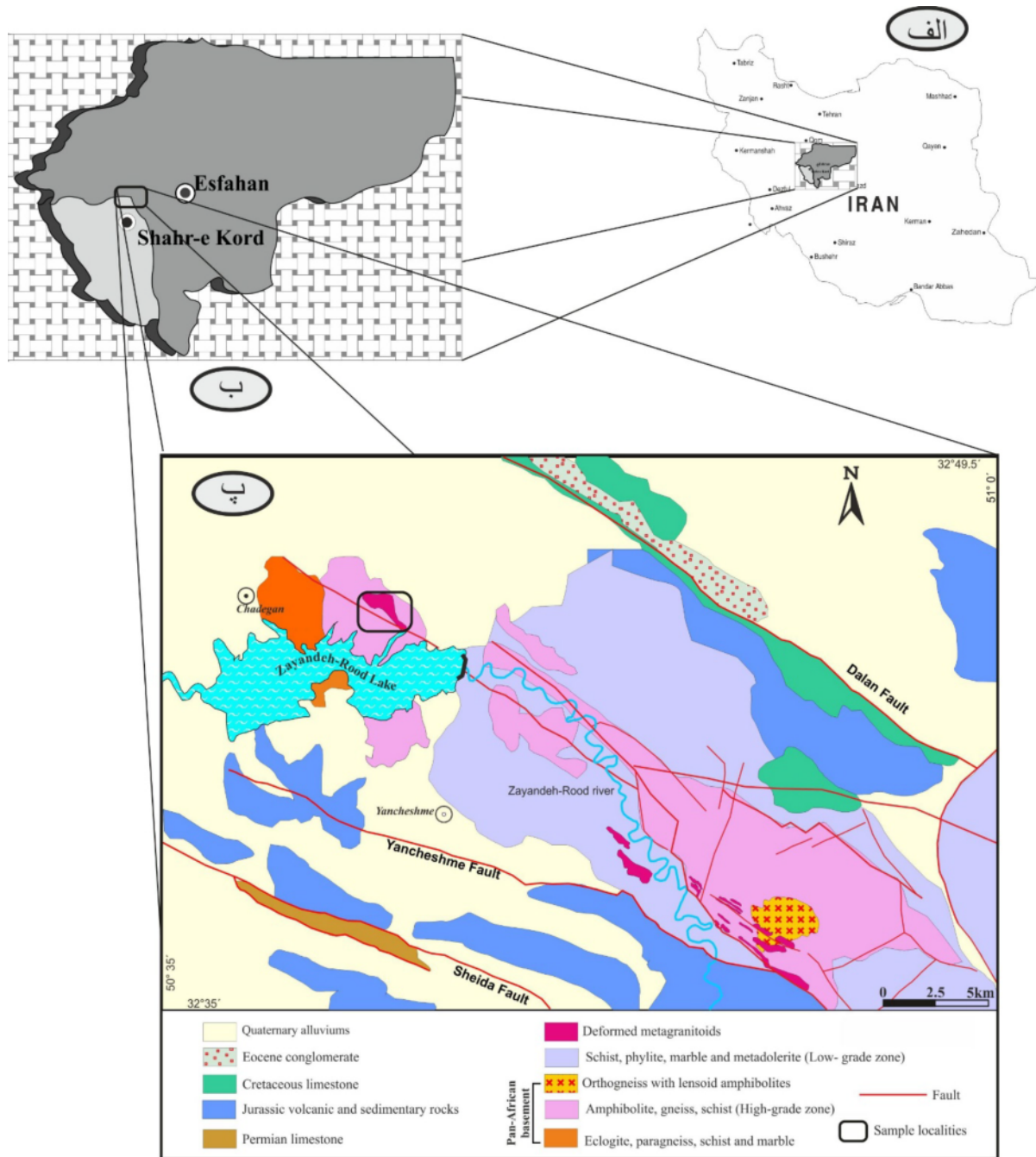
پوسته‌ای مذاب ناشی از مانتو [۱۱] به همراه جدایش بلورین (AFC) یا فرآیندهای پیچیده‌تر (برای مثال، ذوب‌شدگی، هضم، ذخیره و یکنواخت‌شدگی MASH) [۱۲] و ت ذوب تکه‌های فورانده پوسته اقیانوسی که ایجاد ماقمای آداسیتی می‌کند [۱۳].

تقسیم‌بندی‌آلفابتی یکی از روش‌های رده‌بندی گرانیت‌ها به انواع I، A و S بر مبنای ویژگی‌های زمین‌شناسی مختلف بوده است [۱۴، ۱۵]. گرانیت‌های نوع I متالومین ضعیف و نسبتاً سدیمی هستند. مقدار SiO_2 در آنها از ۵۶ تا ۷۷ درصد وزنی متغیر است و از یک خاستگاه متا‌آذرین مافیک حاصل می‌شوند. در حالی که گرانیت‌های نوع S بشدت پرآلومین و غنی از پتاسیم هستند و مقدار SiO_2 در آنها از ۶۴ تا ۷۷ درصد وزنی متغیر است و از ذوب سنگ‌های رسوبی حاصل می‌شوند. گرانیت نوع A که توسط [۱۶] معرفی شد شامل طیفی از سنگ‌های گرانیتی غنی از ترکیبات قلیایی ($\text{Na}_2\text{O} + \text{K}_2\text{O}$ بالا) است که نسبت Ga/Al در آنها بالاست و غنی‌شدگی در Zr , Nb و HF را نشان می‌دهند [۱۷، ۱۸]. گرانیت نوع A طی فرآیندهای متفاوت از سنگ‌های با خاستگاه‌های مختلف مشتق شده و از نظر پیدایشی مربوط به زمین‌ساخت کششی هستند [۲۱-۲۹]. گرانیت‌های نوع A از نظر شیمیایی دارای $\text{K}_2\text{O}/\text{Na}_2\text{O}$ و $\text{K}_2\text{O}/(\text{Fe}+\text{Mg})$ بالا هستند و با مقادیر بالای عناصر کمیاب ناسازگار و مقادیر پایین عناصر کمیاب سازگار در سیلیکات‌های مافیک و فلدسپارها مشخص می‌شوند [۲۲]. بنا به پیشنهاد [۲۳] منابع توده گرانیتی نوع A می‌تواند شبیه به توده نوع I باشند و تفاوت بین دو گروه را می‌توان به تغییرات جزئی در شرایط ذوب مانند دماهای بالاتر [۲۴، ۲۵] و فشار پایین [۲۶]، مقدار پایین H_2O [۱۶] و گریزندگی اکسیژن پایین [۲۷] نسبت داد. گرانیت‌های نوع A در الوند [۲۸]، شمال‌غرب ازنا [۲۹]، چشمه سفید [۳۰]، جنوب قروه [۳۱]، جنوب شرقی سقر [۳۲] و جنوب‌غرب کرمان [۳۳] دیده شده‌اند.

در این مقاله با استفاده از روش ICP-ES و ICP-MS به بررسی زمین‌شیمیایی توده‌ی گرانیت گنایی‌آبادچی پرداخته و جایگاه زمین‌ساختی آن به عنوان یکی از توده‌های گرانیت‌وییدی پهنه سنندج - سیرجان تعیین می‌شود.

دگرگونی سنندج - سیرجان رخنمون دارند. بیشترین توده‌ها در جهت NW-SE امتداد دارند و به موازات روند ساختاری اصلی زاگرس و روند کلی برگوارگی هستند. این گرانیت‌وئیدها در مقیاس‌های مختلف خرد شده و میلیونیتی‌اند [۴۴].

افیولیت، (۴) واحد حاشیه‌ای و (۵) زیر پهنه با دگرشکلی پیچیده. فعالیت‌های کومزاژی در پهنه سنندج - سیرجان را در حال حاضر بیشتر واپسیه به بسته شدن نئوتیس می‌دانند [۴۱]. منطقه مورد بررسی در زیر پهنه دگرشکلی پیچیده واقع شده است. تعداد زیادی توده‌ی گرانیت‌وئیدی درون پهنه



شکل ۱ موقعیت منطقه‌ی مورد بررسی: (الف) در کشور، (ب) در استان چهارمحال‌بختیاری و (پ) موقعیت جغرافیایی منطقه مورد بررسی و توده نفوذی بر نقشه زمین‌شناسی (برگرفته از مرجع [۵۵]).

شكل تغییر می‌کند. ترکیب کانی‌شناسی اصلی آن شامل کوارتز، پلازیوکلاز، فلدسپات قلیایی، بیوتیت و موسکویت است و کانی‌های فرعی آن کدر، زیرکن، آمفیبول، آلانیت هستند.

کوارتز: یکی از فراوان‌ترین کانی‌های سازنده‌ی این سنگ‌ها است که شکل‌دار تا نیمه‌شکل بوده و دارای اندازه نسبتاً متغیر است. دانه‌های کوارتز شواهد بافتی متفاوتی از دگرشکلی دینامیکی را به صورت زیر نشان می‌دهند: کانی‌های کوارتز بیشتر خاموشی موجی نشان می‌دهند و گاهی به صورت زیردانه تا نودانه هستند [۵۶] (شکل ۲ پ). بعضی از دانه‌های کوارتز پدیده برآمدگی نشان می‌دهند که حاکی از دگرشکلی دینامیک و احیا مرزدانه‌ای [۵۷] از نوع بازتلور نوع مهاجرت مرزدانه‌ای در دمای پایین است.

پلازیوکلاز: پلازیوکلازها به صورت پورفیرهایی دارای ماکل تکراری با انتهای مخروطی، متقاطع، خمیده و شکسته هستند که بر اساس ریخت‌شناسی، ماکل آنها از نوع مکانیکی است [۵۸]. پلازیوکلازها با اندازه متوسط تا درشت دارای ماکل تکراری و کارلسپاد هستند. حالت پلکانی در ماکل پلازیوکلازها دیده می‌شود. آنها در اثر دگرسانی به سریزیت و کائولنیت (کانی رسی) تجزیه شده‌اند. همچنین گاهی بافت میرمکیت (رشد کرمی شکل بلورهای کوارتز در پلازیوکلاز) نشان می‌دهند که احتمالاً نشان‌دهنده‌ی حضور فاز سیال است [۵۶] (شکل ۲ ت).

فلدسپات قلیایی: به صورت بلورهای متوسط تا درشت بلور هستند. این بلورها معمولاً به صورت پورفیروکلاست دیده می‌شوند. این پورفیروکلاست‌ها به صورت پرتیت و آنتی‌پرتیت قابل مشاهده‌اند (شکل ۲ ت).

مسکویت: مسکویت‌ها بیشتر به صورت میکای فنریتی هستند که در اندازه‌های کوچک تا متوسط قابل مشاهده‌اند. فنریت‌ها زیر میکروسکوپ دارای رنگ سبز بسیار کمرنگ هستند و بر جستگی بیشتری نسبت به میکای مسکویتی دارند. این بلورها هم به صورت کشیده و هم دانه‌ای در متن سنگ وجود دارند.

بیوتیت: بلورهای ریز تا متوسط‌دانه این کانی نیمه شکل‌دار با ظاهری کشیده هستند. بیوتیت‌ها دارای چندرنگی قهقهه‌ای تا قهقهه‌ای پررنگ و قهقهه‌ای مایل به سبز هستند. در این سنگ‌ها

در پهنه سندج - سیرجان سنگ‌های قدیمی شناخته شده مربوط به گرانیت‌های نئوپروتروزوئیک و گنایس‌هایی هستند که به وسیله توالی‌هایی از پالئوزوئیک، مژوزوئیک و واحدهای سنوزوئیک ابتدایی (کم دگرشکل شده یا دگرشکل نشده) پوشیده شده‌اند [۴۵، ۴۶].

گرانیت‌های پهنه دگرگونی سندج - سیرجان دارای سن متفاوت از نئوپروتروزوئیک [۴۶] تا ائوسن هستند [۴۷، ۴۸]. با این حال، بسیاری از نفوذی‌ها به سن ژوراسیک یا پالئوسن [۴۹-۵۲] دو یا سه مرحله از توسعه یک کمان ماقمایی را نشان می‌دهند [۵۳-۵۵].

روش بررسی

پس از نمونه‌برداری و ثبت موقعیت جغرافیایی با استفاده از GPS در منطقه آبادچی، از نمونه‌های سالم ۴۰ مقطع تهیه شد و مقاطع توسط میکروسکوپ قطبشی المپیوس بررسی شدند. از مشخصه‌های بافتی و کانی‌شناسی نمونه‌ها عکس‌هایی در نور طبیعی و متقاطع تهیه شد. به منظور بررسی ویژگی‌های زمین‌شیمیایی توده‌ی متاگرانیتوئیدی آبادچی، تعداد ۸ نمونه با کمترین میزان دگرسانی برای انجام تجزیه شیمیایی به روش ICP-MS و ICP-ES به آزمایشگاه ACME در کشور کانادا ارسال شدند. سپس نمودارها و نقشه‌های لازم با استفاده از نرم‌افزارهای GCDkit و Excel CorelDraw تهیه شدند.

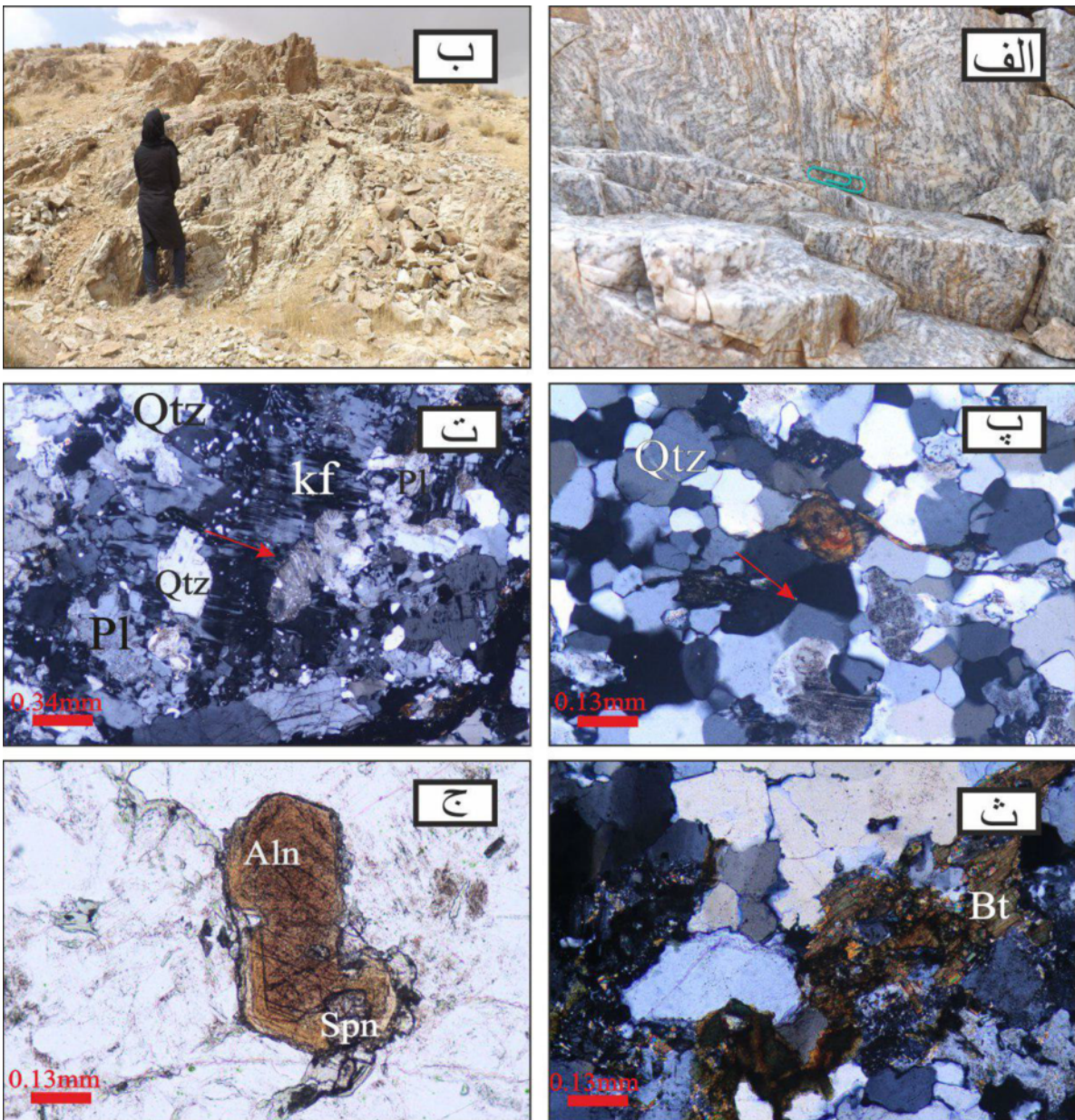
بحث و بررسی

سنگ‌نگاری سنگ‌های متاگرانیتوئیدی آبادچی

سنگ‌های مورد بررسی متوسط تا ریزبلور هستند و از نظر ظاهری تناوبی از بخش‌های سفید (کوارتز- فلدسپات) و قهوه‌ای (کانی‌های تیره) و تا حدودی سبز (به علت تجزیه بیوتیت به کلریت) را نشان می‌دهند. کانی‌های تیره دارای چین خوردگی زیبایی هستند (شکل ۲ الف). سطح سنگ دارای درزه و شکستگی‌های فراوان است و برگوارگی بارزی را نشان می‌دهد. به دلیل تاثیر سیالات در جابه‌جایی توده‌های گرانیت گنایسی آثاری از دگرسانی متمایل به قرمز دیده می‌شود که ضخامت آن متغیر است (شکل‌های ۲ الف و ب). براساس بررسی‌های میکروسکوپی انجام شده، بافت اصلی توده گرانیت گنایسی پولکی دانه‌ای است که از نظر مرز دانه‌ای از اینترلوبیت تا آمیبی

بوده و یکی از نکات قابل توجه در مورد آنها، احاطه شدن این کانی توسط اپیدوت است که نشان دهنده اولیه بودن این کانی است [۵۹] (شکل ۲ ج). وجود آلانیت نشانه یک مagmaی به شدت تکامل یافته است [۶۰].

بیوتیت به کلریت تبدیل شده که در نتیجه این تجزیه اسفن در راستای برگوارگی آنها ظاهر شده است (شکل ۲ ث). آلانیت: این کانی فرعی معمولاً به صورت ریز تا متوسط و کشیده در سنگ ظاهر می‌شود (شکل ۲ پ). آلانیت با چندرنگی قرمز قهوه‌ای تا قهوه‌ای تیره تا روشن قابل شناسایی



شکل ۲ (الف) نمونه‌ای از گرانیت به شدت چین خورده با درز و شکستگی و برگوارگی با آثار قرمز رنگ اکسید آهن، (ب) نمایی از توده گرانیت گنایسی رخمنون یافته در منطقه مورد بررسی، (پ) دانه‌های کوارتز با زاویه‌ی دوسری ۱۲۰ درجه، XPL، (ت) نمای میکروسکوپی پرتبیت لخته‌ای و میرمکیت (با پیکان قرمز در شکل مشخص شده است)، XPL، (ث) بیوتیت‌های تجزیه شده به کلریت که در امتداد آنها تیتانیت آزاد شده و دلیلی بر تاثیر دگرنهادی سدیم است، PPL و (ج) بلور آلانیت که با اپیدوت احاطه شده و دلیلی بر اولیه بودن این کانی است، PPL. علامت اختصاری برگرفته از مرجع [۶۱] است.

۱۳/۱۴ درصد وزنی)، مقدار TiO_2 پایین (۰/۰۶ تا ۰/۱۸ درصد وزنی)، مقدار MgO پایین (۰/۰۷ تا ۰/۴۳ درصد وزنی)، مقدار $Fe_2O_3^{tot}$ در گستره‌ی ۱/۲۸ تا ۲/۴۵ درصد وزنی و مقدار مجموع قلیایی‌ها تقریباً بالا (Na_2O : ۳/۷۱ تا ۶/۴۱؛ K_2O : ۰/۱۳ تا ۳/۹۳ درصد وزنی و CaO : ۵/۹۰ تا ۷/۶۴ است).

زمین‌شیمی

نتایج مربوط به تجزیه سنگ کل نمونه‌های مورد بررسی به روش ICP-ES و ICP-MS در جدول ۱ ارائه شده است. دیده می‌شود که اکسید عناصر اصلی در نمونه‌های مورد بررسی در ارای دامنه تغییراتی به شرح زیر هستند: مقدار SiO_2 بالا (از ۷۷/۴ تا ۷۵/۱۳ درصد وزنی)، مقدار Al_2O_3 متوسط (۱۲/۳۶ تا ۱۲/۳۶ درصد وزنی)، مقدار Al_2O_3 نادر (ppm) بیان شده‌اند.

جدول ۱ نتایج تجزیه‌های ICP-MS و ICP-ES توده نفوذی مورد بررسی، مقادیر عناصر اصلی بر حسب درصد وزنی و عناصر کمیاب و خاکی نادر

Sample No	RH4-1	RH4-6	RH4-8a	RH5-1	RH5-2	RH5-5a	RH6-3	RH7-2
SiO_2 (wt%)	۷۷/۴۰	۷۶/۸۴	۷۷/۳۹	۷۵/۱۳	۷۶/۶۱	۷۶/۸۵	۷۵/۸۷	۷۶/۰۱
Al_2O_3	۱۲/۷۴	۱۲/۴۷	۱۲/۷۷	۱۲/۸۹	۱۳/۱۴	۱۳/۰۷	۱۲/۷۸	۱۲/۳۶
$Fe_2O_3^*$	۱/۵۰	۱/۱۰	۱/۲۸	۲/۱۱	۱/۸۲	۱/۴۸	۱/۸۹	۲/۴۵
MgO	۰/۰۷	۰/۱۰	۰/۰۸	۰/۲۶	۰/۳۷	۰/۴۳	۰/۴۲	۰/۲۸
CaO	۱/۲۸	۰/۶۴	۱/۲۳	۱/۰۴	۱/۶۲	۰/۸۷	۰/۹۷	۱/۹۷
Na_2O	۴/۹۶	۳/۸۰	۵/۰۴	۳/۷۱	۵/۷۷	۶/۴۱	۵/۱۰	۴/۴۱
K_2O	۱/۱۷	۳/۵۹	۱/۲۹	۳/۹۳	۰/۱۳	۰/۲۲	۱/۶۷	۱/۴۹
TiO_2	۰/۰۷	۰/۰۷	۰/۰۶	۰/۱۷	۰/۱۷	۰/۱۸	۰/۱۸	۰/۱۸
P_2O_5	۰/۰۱	۰/۰۲	۰/۰۱	۰/۰۳	۰/۰۳	۰/۰۳	۰/۰۳	۰/۰۳
MnO	<۰/۰۱	<۰/۰۱	<۰/۰۱	۰/۰۲	<۰/۰۱	<۰/۰۱	۰/۰۱	۰/۰۱
LOI	۰/۴	۱/۰	۰/۷	۰/۵	۰/۲	۰/۴	۰/۹	۰/۶
Sum	۹۹/۹۰	۹۹/۹۰	۹۹/۸۹	۹۹/۸۶	۹۹/۹۲	۹۹/۹۴	۹۹/۹۰	۹۹/۸۸
Cr	۳۲۱/۱۷	۱۹۲/۰۸	۲۸۴/۸۱	۲۵۸/۳۱	۳۷۷/۵۳	۱۹۲/۰۸	۲۱۱/۹۵	۳۲۴/۵۵
Ni	<۲۰	<۲۰	<۲۰	<۲۰	<۲۰	<۲۰	<۲۰	<۲۰
Sc	۵	۶	۵	۳	۴	۳	۳	۳
Cs	۰/۲	۰/۸	۰/۳	۲/۰	۰/۲	۰/۶	۱/۴	۱/۱
Ga	۱۶/۶	۱۷/۸	۱۶/۱	۱۸/۴	۱۴/۹	۱۴/۶	۱۷/۶	۲۰/۴
Hf	۴/۷	۴/۰	۴/۷	۵/۵	۴/۹	۴/۹	۵/۰	۵/۵
Nb	۸/۲	۸/۳	۷/۷	۱۰/۰	۹/۶	۷/۳	۱۰/۳	۹/۸
Rb	۲۵/۹	۸۲/۳	۳۰/۳	۱۰۱/۰	۲/۳	۴/۲	۴۹/۵	۳۱/۱
Sn	۲	۳	۲	۴	۳	۴	۵	۶
Sr	۱۲۲/۴	۷۴/۲	۱۲۴/۳	۸۷/۱	۳۰/۹/۵	۱۳۸/۶	۹۶/۳	۲۰۴/۷
Ta	۰/۸	۱/۰	۱/۱	۰/۸	۰/۷	۰/۷	۰/۸	۰/۹
Th	۱۶/۶	۱۵/۵	۱۶/۰	۱۴/۷	۱۵/۰	۱۵/۲	۱۶/۶	۱۵/۲
U	۲/۹	۲/۷	۳/۳	۳/۴	۳/۷	۲/۳	۳/۴	۶/۰
V	<۸	<۸	<۸	۱۲	۱۰	۱۱	۱۱	۱۴
W	۰/۸	۳/۶	۱/۱	۰/۹	۰/۷	۰/۵	۰/۷	۰/۸
Zr	۱۰۸/۳	۹۳/۴	۱۰۹/۲	۱۶۸/۷	۱۶۰/۱	۱۴۲/۰	۱۶۲/۴	۱۶۸/۵
Y	۶۰/۳	۶۱/۸	۵۹/۲	۴۲/۱	۳۳/۹	۳۷/۱	۴۵/۶	۶۵/۰
La	۳۲/۶	۲۶/۴	۲۹/۳	۳۰/۱	۲۷/۲	۲۷/۱	۲۹/۷	۳۰/۷
Ce	۷۱/۶	۶۹/۹	۷۴/۹	۶۵/۹	۵۶/۴	۵۹/۲	۶۲/۰	۶۵/۲
Pr	۸/۵۶	۷/۷۲	۸/۵۳	۷/۱۵	۶/۳۴	۶/۴۵	۷/۰۶	۷/۲۰
Nd	۳۲/۱	۳۰/۷	۳۲/۵	۲۶/۷	۲۳/۵	۲۴/۷	۲۷/۱	۲۹/۱
Sm	۷/۵۷	۷/۹۴	۸/۳۲	۶/۶۲	۵/۲۴	۵/۴۴	۶/۰۶	۶/۳۲
Eu	۰/۹	۰/۹	۰/۱۴	۰/۶۶	۰/۷۰	۰/۷۲	۰/۶۵	۱/۰۴
Gd	۸/۴۰	۸/۶۴	۹/۰۳	۶/۵۹	۵/۷۰	۶/۱۳	۶/۷۶	۷/۵۰
Tb	۱/۰۸	۱/۷۴	۱/۶۷	۱/۱۷	۰/۹۹	۰/۹۸	۱/۱۹	۱/۴۹
Dy	۱۰/۲۰	۱۰/۶۸	۱۰/۶۶	۷/۰۴	۵/۹۸	۶/۸۷	۷/۶۶	۹/۹۹
Ho	۲/۱۹	۲/۴۷	۲/۲۱	۱/۵۲	۱/۲۴	۱/۳۷	۱/۶۷	۲/۳۴
Er	۶/۵۰	۷/۰۵	۶/۶۴	۴/۶۴	۳/۵۲	۴/۰۹	۵/۰۰	۶/۶۸
Tm	۰/۹۶	۰/۹۴	۰/۹۴	۰/۷۲	۰/۵۷	۰/۶۲	۰/۷۴	۰/۹۴
Yb	۶/۳۸	۶/۴۳	۶/۳۷	۴/۷۶	۳/۸۹	۳/۹۱	۵/۴۰	۶/۰۷
Lu	۰/۹۷	۰/۹۱	۰/۸۴	۰/۶۸	۰/۵۶	۰/۵۸	۰/۷۴	۰/۹۰

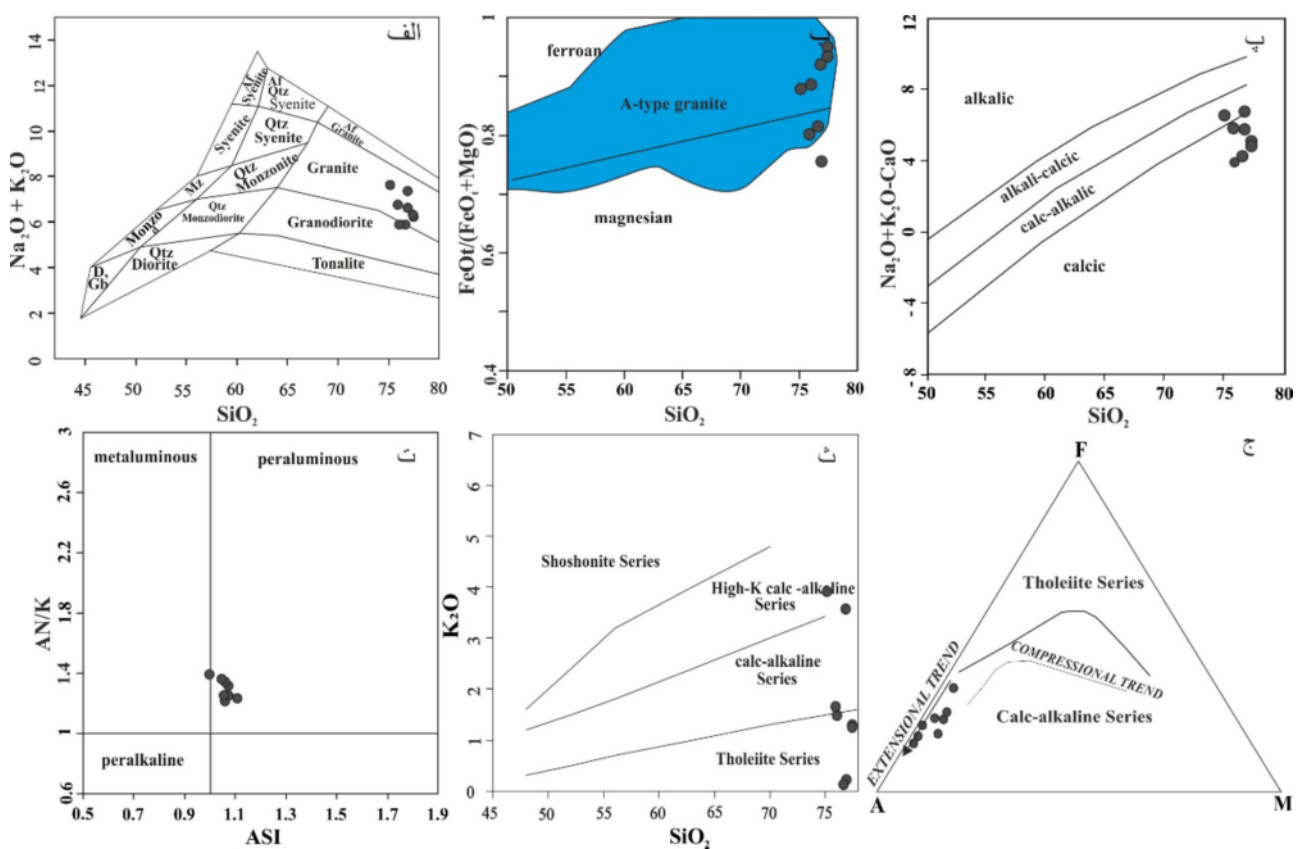
LOI: Loss of Ignition $Fe_2O_3^*$: Fe_2O_3 as a total Iron

محدوده‌ی آهکی-قلیایی واقع شده‌اند [۶۴] (شکل ۳ ج). عناصر فرعی نیز تغییرات مشخصی نشان می‌دهند، برای مثال، روبیدیم (۱۰۱,۰ ppm - ۲/۳ قسمت در میلیون)، ایتریم (۳۳/۹)، استرانسیم (۳۰۹,۵ ppm - ۶۵,۰ ppm)، باریم (۷۴,۲)، کروم (۳-۶ ppm)، اسکاندیم (۷۷۲ ppm - ۷۳)، نیوبیوم (۳۷۷,۵۳ ppm - ۳/۵)، تالیم (۱۹۲,۰۸ ppm)، زیرکنیوم (۹۳,۴ - ۱۶۸,۷ ppm)، گالیم (۱,۱ - ۰,۷) و آرسنیک (۰,۴ - ۰,۶ ppm).

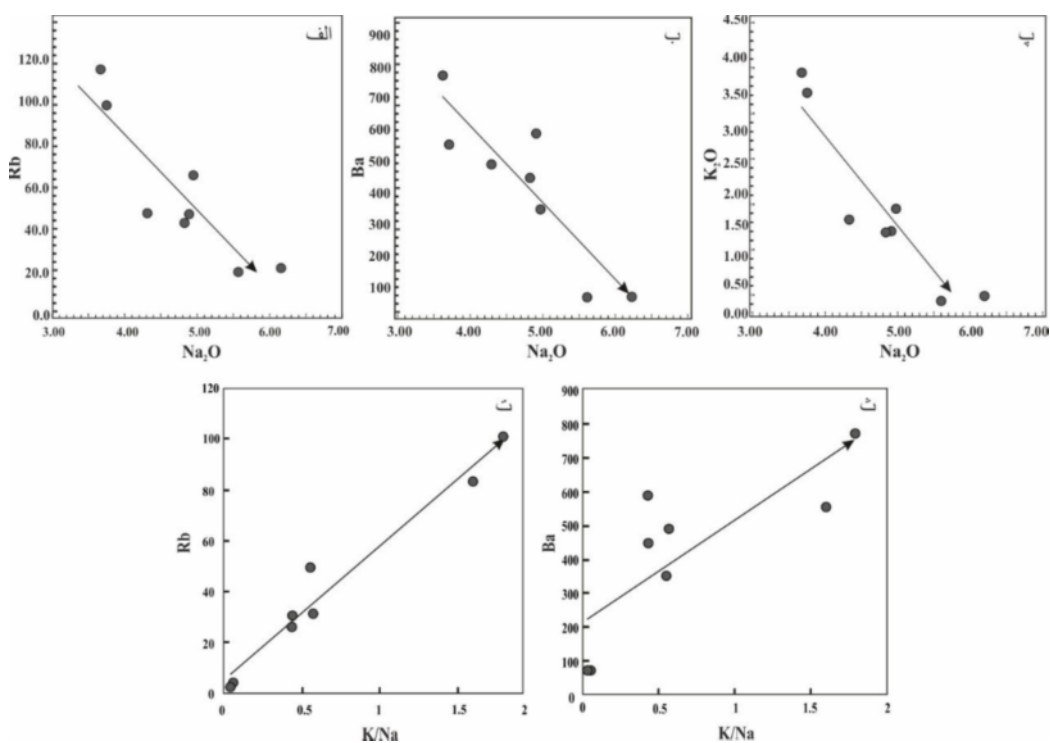
تغییرات عناصر اصلی و کمیاب نسبت به Na_2O (شکل‌های ۴الف، ب و پ) نشان می‌دهد که با افزایش Na_2O ، مقدار اکسیدهای K_2O و Rb و Ba کاهش می‌یابد. تبدیل پلاژیوکلاز کلسیم و فلدسپار به آلبیت، احتمالاً باعث کاهش شدید Rb و Ba شده است [۸۵].

در نمودار مجموع قلیایی- سیلیس [۶۲] نمونه‌ها بیشتر در محدوده‌ی گرانیت قرار می‌گیرند (شکل ۳ الف). براساس طبقه- بنده زمین‌شیمیایی گرانیتها که توسط فرات و همکاران [۶۳] ارائه شده است این سنگ‌ها در نمودار SiO_2 نسبت به $\text{FeO}^{\text{tot}}/(\text{FeO}^{\text{tot}}+\text{MgO})$ در محدوده‌ی آهن‌دار تا منیزیم‌دار قرار می‌گیرند (شکل ۳ ب).

سنگهای مورد بررسی از نظر شاخص MALI در محدوده کلسیمی تا آهکی-قلیایی قرار می‌گیرند [۶۳] (شکل ۳ پ). همچنین از نظر اشباعیت از آلومینیم، در محدوده پرآلومین تا کمی متألومین قرار می‌گیرند (شکل ۳ ت). در نمودار SiO_2 - K_2O نمونه‌ها در محدوده پتاسیم پایین تا آهکی-قلیایی‌های پتاسیم بالا قرار می‌گیرند (شکل ۳ ث). با توجه به نمودار AFM نمونه‌های مورد بررسی در ضلع AF و در



شکل ۳ (الف) نمودار SiO_2 نسبت به $\text{K}_2\text{O} + \text{Na}_2\text{O}$ که بیشتر نمونه ها در محدوده گرانیت قرار می گیرند [۶۵]، (ب) نمودار SiO_2 نسبت به $\text{FeO}^{\text{tot}}/(\text{FeO}^{\text{tot}} + \text{MgO})$ که نمونه ها در محدوده آهن دار تا منزیزمدار قرار می گیرند، (پ) نمودار SiO_2 نسبت به $\text{Na}_2\text{O} + \text{K}_2\text{O} - \text{CaO}$ که سنگها در محدوده کلسیمی تا آهکی-قلیایی قرار می گیرند، (ت) نمودار ASI نسبت به A/NK ، که نمونه ها در محدوده پرآلومین تا کمی متاآلومین قرار می گیرند [۶۲]، (ث) نمودار SiO_2 نسبت به K_2O که نمونه ها در محدوده پاتاسیم پایین تا آهکی-قلیایی پاتاسیم بالا قرار گرفته اند و (ج) نمودار AFM که نمونه ها در محدوده آهکی-قلیایی واقع شده اند [۶۳].



شکل ۴ موقعیت نمونه‌های مورد بررسی بر (الف) نمودار Na_2O نسبت به Rb , (ب) نمودار Na_2O نسبت به Ba , (پ) نمودار Na_2O نسبت به K_2O , (ر) نمودار K/Na نسبت به Rb و (ش) نمودار K/Na نسبت به Ba .

گرانیتوئیدهای پس از برخورد است. همچنین نمونه‌ها در نمودار K_2O نسبت به Na_2O [۷۳] در محدوده دگرنهادی سدیمی قرار می‌گیرند (شکل ۶ ث). با افزایش نسبت Na_2O ، مقدار Rb و Ba افزایش می‌یابد (شکل‌های ۴ ت و ث). این همبستگی مثبت ممکن است نشان دهنده دگرنهادی و جایگزینی فلدسپار پاتاسیمی توسط الیگوکلاز باشد [۷۴].

محیط زمین‌ساختی منطقه مورد بررسی

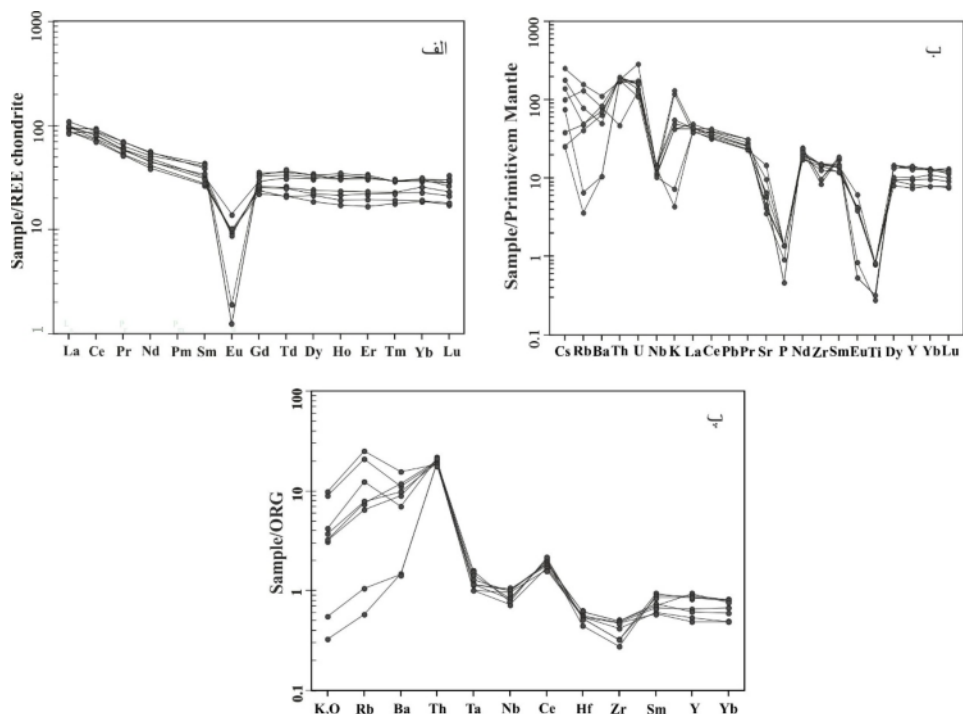
یکی از ویژگی‌های سنگ‌های منطقه مورد بررسی غنی‌شدگی در LILE و تهی شدگی در HFSE، به خصوص Nb و Ti و همچنین پراکندگی در K, Ba, Rb در نمودار الگوی عناصر کمیاب سنگ‌های مورد بررسی بهنجار شده به گوشه اولیه [۶۸] (شکل ۵ ب) و به ORG (گرانیت پشتہ اقیانوسی، شکل ۵ پ) است که از ویژگی‌های سنگ‌های وابسته به محیط فروزانش و حضور مواد پوسته‌ای است همچنین ناهنجاری منفی باریم و نیوبیوم و ناهنجاری مثبت روبيدیم و توریم دیده می‌شود که مشابه الگوی گرانیتهای پس از برخورد [۷۸] است. غنی‌شدگی در عناصر LILE و HFSE همراه با ناهنجاری منفی در Nb-Ti-Ta از ویژگی‌های ماقمای وابسته به فروزانش است که چنین ویژگی‌هایی می‌تواند در نتیجه‌ی غنی‌سازی گوه گوشه‌ای توسط سیالات آبدار از صفحه هفروزانش از عناصر LILE و HFSE غنی شده باشد [۷۸].

نمونه‌های مورد بررسی در نمودار بهنجار شده به کندریت [۶۶] غنی‌شدگی LREE‌ها را نسبت به HREE‌ها همراه با ناهنجاری منفی Eu نشان می‌دهند (شکل ۵ الف) که این ناهنجاری منفی احتمالاً ناشی از تبلور جدایشی پلازیوکلاز طی تبلور ماقما و یا به دلیل وجود پلازیوکلاز بهطور اساسی در مجموعه‌ی باقیمانده [۶۷] و یا شرایط اکسیدان محیط تبلور است.

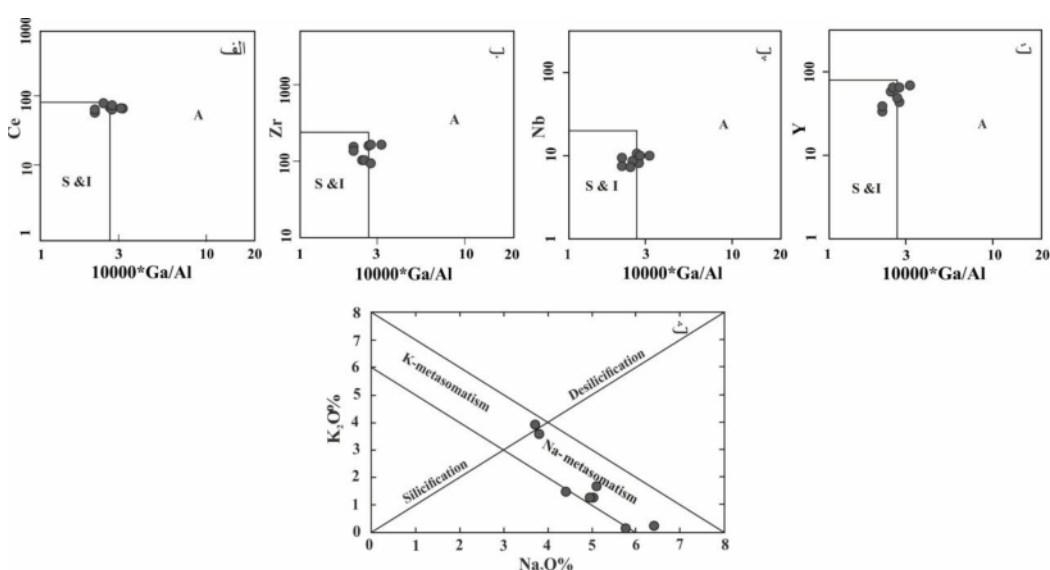
در نمودارهای بهنجار شده به گوشه اولیه ([۶۸]، شکل ۵ ب) و به ORG (گرانیت پشتہ اقیانوسی، شکل ۵ پ) غنی‌شدگی نسبی در LILE و HFSE نسبت به LILE دیده می‌شود که این امر نشان دهنده سنگ‌های ماقمای وابسته به کمان و محیط‌های برخوردی است [۶۹]. غنی‌شدگی عناصری مثل Rb, Th و Ti از ویژگی‌های ماقمای دگرگون شده براساس سازوکار تبلور جدایشی در محیط‌های زمین‌ساختی وابسته به فروزانش است [۷۰]. ناهنجاری‌های LILE و تهی شدگی Barz در Sr, P, Ti و Nb دیده می‌شود که این ویژگی دلیل محکمی برای تشکیل و دگرگونی‌های پوسته قاره‌ای است [۷۱].

در نمودار Nb , Zr , Ce و Y نسبت به Ga/Al ۱۰۰۰۰ از مرجع [۷۲]، نمونه‌ها در سیر تدریجی از محدوده نوع A به I قرار می‌گیرند (شکل‌های ۶ الف، ب، پ و ث) که از ویژگی‌های

درون صفحه‌ای و پس از برخورد (PCG) واقع شده‌اند (شکل ۷). همچنین در نمودارهای مثلثی Y-Nb-3Th و Y-Nb-3Ga بیشتر نمونه‌ها در محدوده گرانیت‌های نوع A2 واقع می‌شوند (شکل ۸) [۷۸].

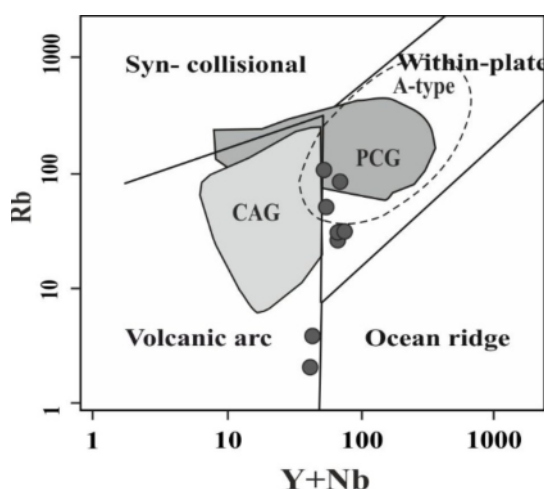


شکل ۵ (الف) نمودار عنکبوتی عناصر خاکی نادر بهنجار شده براساس داده‌های نشان دهنده غنی‌شدگی LREE ها و تهی‌شدگی HREE هاست و Eu ناهنجاری منفی نشان می‌دهد، (ب) نمودارهای عنکبوتی بهنجار شده به ماتنوى اولیه [۶۸] که در آنها ناهنجاری‌های مثبت LILE و تهی‌شدگی بارز در Nb, Sr, P, Ti دیده می‌شود و (پ) در نمودار بهنجار شده به ORG (پشته میان اقیانوسی) که غنی‌شدگی در LREE و نسبت به HFSE را نشان می‌دهد.

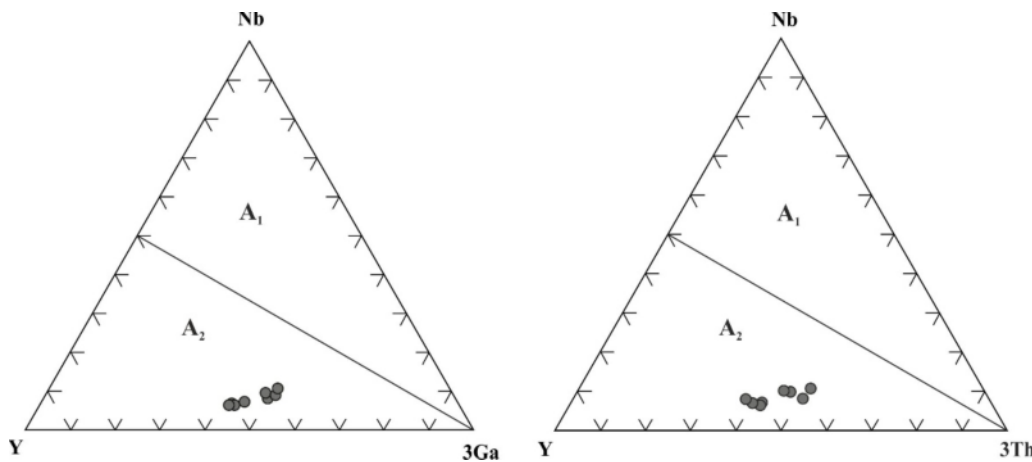


شکل ۶ (الف) نمودار $10000\text{Ga}/\text{Al}$ نسبت به Ce، (ب) نمودار $10000\text{Ga}/\text{Al}$ نسبت به Zr، (پ) نمودار $10000\text{Ga}/\text{Al}$ نسبت به Nb، (ت) نمودار $10000\text{Ga}/\text{Al}$ نسبت به Y، که همه نمونه‌ها در محدوده نوع I تا نوع A قرار می‌گیرند [۷۲]، (ث) نمودار $\text{Na}_2\text{O}/\text{K}_2\text{O}$ نسبت به $\text{Na}_2\text{O}\%$ که نشان می‌دهد که سنگ‌های مورد بررسی گرانیت‌های نوع A، طی تبلور جداشی در معرض دگرنهادی سدیم قرار گرفته‌اند.

تهی‌شدگی در Nb-Ti-Ta می‌تواند توسط ابقاء فازهای کانیایی باقیمانده غنی از تیتان (مثل روئیل و تیتانیت) در خاستگاه گوشه‌ای توضیح داده شود [۷۵، ۷۶]. با توجه به نمودار تفکیک زمین‌ساختی [۷۷]، سنگ‌های مورد بررسی در محدوده گرانیت



شکل ۷ نمودار $\text{Rb}/(\text{Y}+\text{Nb})$ نسبت به Rb/Y [۷۸] که سنگ‌های مورد بررسی در محدوده‌ی گرانیت‌های درون صفحه‌ای و پس از برخورد (PCG) و گرانیت‌های کمان آتش‌فشانی قرار گرفته‌اند.



شکل ۸ نمودارهای مثلثی $\text{Y}-\text{Nb}-3\text{Ga}$ و $\text{Y}-\text{Nb}-3\text{Th}$ ، تفکیک کننده گرانیت‌وئیدهای A_1 و A_2 [۷۸] که براساس آنها، نمونه‌های گرانیت ابادچی در محدوده A_2 قرار می‌گیرند.

فلدسپار پتاسیم، ایجاد بافت میرمکیت نام برد. بافت اصلی این سنگ پولکی ریزدانه‌ای است که بیانگر ماهیت دگرگونی و ماقمایی این سنگ‌های است. سنگ‌های مورد نظر دارای باخت میلیونیتی هستند.

از نظر زمین‌شیمی سنگ‌های این توده دارای مشخصات ماقمایی کلسیمی تا آهکی-قلیایی، سری تولیتی تا سری‌های آهکی-قلیایی پتاسیم بالا، آهن‌دار تا منیزیم‌دار، پرآلومین تا کمی متاآلومین و از نوع A (A2) تا I هستند. نمودار REE بهنجارشده به کندریت، غنی‌شدگی LREE‌ها را نسبت به HREEs همراه با ناهنجاری منفی Eu نشان می‌دهند. در نمودارهای عنکبوتی بهنجار شده نسبت به MORB غنی‌شدگی

برداشت
گرانیت‌گنایس‌های آبادچی در پهنه ساختاری سنندج-سیرجان، به شدت چین خورده و دگرشکل شده است. آنها از نظر کانی-شناسی تنوع چندانی ندارند و شامل کانی‌های کوارتز، پلازیوکلاز، فلدسپات قلیایی، موسکویت، بیوتیت و اسفن هستند. سنگ‌های گرانیت گنایسی مورد بررسی تحت تاثیر دگرشکلی دینامیک و دگرنهادی سدیمی ضعیف قرار گرفته‌اند. از شواهد دگرشکلی دینامیک در بلور کوارتز می‌توان به ایجاد خاموشی موجی، ایجاد زیردانه و نودانه، شکل‌گیری ریز دانه‌ها و تغییر شکل مرز دانه‌ها اشاره نمود. وجود پرتیت لخته‌ای در

- [8] Vollmer R., "On the origin of the Italian potassic magmas. 1. A discussion contribution", *Chem. Geol.* 74 (1989) 229–239.
- [9] Peccerillo A., "Multiple mantle metasomatism in central-southern Italy: geochemical effects, timing and geodynamic implications", *Geology* 27 (1999) 315–318.
- [10] Zeck H.P., Kristensen A.B., Williams I.S., "Post-collisional volcanism in a sinking slab setting. Crustal anatexic origin of pyroxene-andesite magma, Caldear Volcanic Group, Neogene Alboran volcanic province, southeastern Spain", *Lithos* 45 (1998) 499–522.
- [11] Pearce J.A., Bender J.F., De Long S.E., Kidd W.S.F., Low P.J., Güner Y., Saroglu F., Yilmaz Y., Moorbat S., Mitchell J.G., "Genesis of collision volcanism in Eastern Anatolia, Turkey, *J. Volcanol.*", *Geotherm. Res.* 44 (1990) 189–229.
- [12] Hildreth W., Moorbat S., "Crustal contributions to arc magmatism in the Andes of Central Chile", *Contributions to Mineralogy Petrology* 98 (1988) 455–489.
- [13] Maury R.C., Sajona F.G., Pubellier M., Bellon H., Defant M., "Fusion de la croûte océanique dans les zones de subduction/collision récentes : l'exemple de Mindanao, Philippines, *Bull.*", *Soc. géol. France* 167 (1999) 579–595.
- [14] Chappell B.W., White A. J. R., "Two contrasting granite types", *Pacific Geology* (1974) 8: 173–74.
- [15] Frost B.R., Barnes C.G., Collins W.J., Arculus R.J., Ellis D.J., Frost C.D., "A geochemical classification for granitic rocks", *Journal of Petrology* 42 (2001) 2033–2048.
- [16] Loiselle M.C., Wones D.R., "Characteristics and origin of anorogenic granites, Geological Society of America", Abstract with Programs 11 (1979) 468.
- [17] Collins W.J., Beams S.D., White A.J.R., Chappell B.W., "Nature and origin of A-type granites with particular reference to southeastern Australia", *Contrib. Mineral. Petrology* 80 (1982) 189–200.
- [18] Whalen J.B., Currie K.L., Chappell B.W., "A-type granites: geochemical characteristics, discrimination and petrogenesis", *Contributions to Mineralogy and Petrology* 95(4) (1987) 407–419.

نسبی در LREE و LILE نسبت به HFSE دیده می‌شود که این امر نشان دهنده سنگ‌های ماقمایی وابسته به کمان و محیط‌های برخورده است. نمودارهای تفکیک کننده خاستگاه زمین‌ساختی محدوده‌ی گرانیت‌های پس از برخورد (PCG) را برای این توده نشان می‌دهد.

مراجع

- [1] Goodge J.W., Vervoort J.D., "Origin of Mesoproterozoic A-type granites in Laurentia: Hf isotope evidence", *Earth and Planetary Science Letters* 243 (2006) 711–731.
- [2] Heilimo E., Elburg, M. A., Andersen T., "Crustal growth and reworking during Lapland-Kola orogeny in northern Fennoscandia: U-Pb and Lu-Hf data from the Nattanen and Litsa-Aragub-type granites", *Lithos* 205 (2014) 112–126.
- [3] Kemp A., Hawkesworth C., "Granitic perspective on the generation and secular evolution of the continental crust", *Treatise on Geochemistry*. Elsevier Ltd (2003) 349–410.
- [4] Stremlan C.C., "Mantle-crust Interaction in Granite Petrogenesis in Post-Collisional Settings: Insights from the Danubian Variscan Plutons of the Romanian Southern Carpathians", 2014. Graduate Theses and Dissertations.
- [5] Maury R.C., Fourcade S., Coulon C., Bellon H., Coutelle A., Ouabadi A., Semroud B., Megartsi M.h., Cotten J., Belanteur O., "Post-collisional Neogene magmatism of the Mediterranean Maghreb margin: a consequence of slab breakoff", *Comptes Rendus de l'Académie des Sciences-Series IIa-Earth and Planetary Science* 331 (2000) 159–173.
- [6] Collins W. J., Beams S. D., White A. J. R., Chappell B. W., "Nature and origin of A-type granites with particular reference to southeastern Australia", *Contributions to Mineralogy and Petrology* 80 (1982) 189–200.
- [7] Miller C., Schuster R., Klötzli U., Frank W., Purtscheller F., "Post-collisional potassic and ultrapotassic magmatism in SW Tibet: geochemical and Sr–Nd–Pb–O isotopic constraints for mantle source characteristics and petrogenesis", *Journal of Petrology* 40 (1999) 1399–1424.

- mylonitic granite from Ghaleh-Dezh, NW Azna, Sanandaj-Sirjan zone, Iran", Neues Jb, Mineral. Abh. 185 (3) (2009) 233–248.*
<http://dx.doi.org/10.1127/0077-7757/2009/0121>.
- [30] Davoudian A. R., Hamedani A., Shabanian N., Mackizadeh M. A., "Petrological and geochemical constraints on the evolution of the Cheshmeh-Sefid granitoid complex of Golpayegan in the Sanandaj– Sirjan zone, Iran", Neues Jahrbuch für Mineralogie-Abhandlungen 184 (2007) 117–129.
- [31] Maanijou M., Aliani F., Miri M., "Geochemistry and petrology of granophyric granite veins penetrated in the igneous intrusive complex in south of Qorveh Area, west Iran", Australian Journal of Basic and Applied Sciences 5 (2011) 926–934.
- [32] Sepahi A. A., Athari S.F., "Petrology of major granitic plutons of the northwestern part of Sanandaj-Sirjan metamorphic belt, Zagros Orogen, Iran: with emphasis on A-type granitoids from SE Saqses area", Neues Jahrbuch für Mineralogie-Abhandlungen 183 (2006) 93–106.
- [33] Dargahi S., Arvin M., Pan Y., Babaei A., "Petrogenesis of postcollisional A-type granitoids from the Urumieh-Dokhtar magmatic assemblage, Southwestern Kerman, Iran: constraints on the Arabian-Eurasian continental collision", Lithos 115 (2010) 190–204.
- [34] Aghanabati A., "Geology of Iran", Geological survey of Iran, (2004), (In persian).
- [35] Agard P., Omrani J., Jolivet L., Moutheau F., "Convergence history across Zagros(Iran): constraints from collisional and earlier deformation", International journal of earth sciences 94 (2005) 401-419.
- [36] Agard P., Omrani J., Jolivet L., Whitchurch H., Vrielynck B., Spakman W., Monie P., Meyer B., Wortel R., "Zagros orogeny: a subduction-dominated process", Geological Magazine 148 (2011) 692-725.
- [37] Alavi M., "Tectonics of the Zagros orogenic belt of Iran: new data and interpretations", Tectonophysics 229:(1994) 211–238.
- [38] Berberian M., King G. C. P., "Towards a paleogeography and tectonic evolution of Iran", Canadian Journal of Earth Sciences 18 (1981) 210–265.
- [19] Zhao X.F., Zhou M.F., Li J.W., Wu F.Y., "Association of Neoproterozoic A- and I-type granites in South China: Implications for generation of A-type granites in a subduction-related environment", Chemical Geology 257 (2008) 1–15.
- [20] Karsli O., Caran S., Dokuz A., Çoban H., Chen B., Kandermir R., "A-type granitoids from the Eastern Pontides, NE Turkey: Records for generation of hybrid A-type rocks in a subduction-related environment", Tectonophysics 530–531 (2012) 208–224.
- [21] Martin H., Bonin B., Capdevila R., Jahn B.M., Lameyre J., Wang Y., "The Kuiqi peralkaline granitic complex (SE China): petrology and geochemistry", Journal of Petrology 35 (1994) 983–1015.
- [22] Eby G. N., "Chemical subdivision of the A-type granitoids: petrogenetic and tectonic implications", Geology 20: (1992) 641-644.
- [23] Jiang N., Zhang S., Zhou W., "Origin of a Mesozoic granite with A-type characteristics from the North China craton: highly fractionated from I-type magmas?", Contributions to Mineralogy and Petrology 158 (2009) 113–130.
- [24] Creaser R. A., Price R. C., Wormald R. J., "A-type granites revisited: assessment of a residual-source model", Geology 19 (1991) 163–166.
- [25] Clemens J. D., Holloway J. R., White A.J. R., "Origin of A-type granites, experimental constraints", American Mineralogist 71 (1986) 317–324.
- [26] Patiño Douce A.E., "Generation of metaluminous A-type granites by low-pressure melting of calc-alkaline granitoids", Geology 25 (1997) 743–746.
- [27] Frost C. D., Frost B. R., "Reduced rapakivi-type granites: the tholeiite connection", Geology 25 (1997) 647–650.
- [28] Shahbazi H., Siebel W., Pourmoafee M., Ghorbani M., Sepahi A. A., Shang C. K., Vosoughi Abedini M., "Geochemistry and U-Pb zircon geochronology of the Alvand plutonic complex in Sanandaj–Sirjan Zone (Iran): new evidence for Jurassic magmatism", Journal Asian Earth Sciences 9 (2010) 668–683.
- [29] Shabanian N., Khalili M., Davoudian A. R., Mohajjal M., "Petrography and geochemistry of

- Sanandaj–Sirjan Zone, Iran", Journal of Asian Earth Sciences* 41 (2011) 238-249.
- [49] Berberian F., Berberian M., "Tectono-plutonic episodes in Iran, In: Gupta H.K. Delany F.M. (Eds.), *Zagros–Hindu Kush–Himalaya Geodynamic Evolution, American Geophysical Union*", Geodynamics Series 3 (1981) 5-32.
- [50] Berberian F., Muir I.D., Pankhurst R.J., Berberian M., "Late Cretaceous and early Miocene Andean-type plutonic activity in northern Makran and Central Iran", *Journal of the Geological Society* 139 (1982) 605-614.
- [51] Masoudi F., Yardeley B.W.D., Cliff R.A., "Rb–Sr geochronology of pegmatites plutonic rocks and a hornfels in the region South-West of Arak, Iran", *Journal of Sciences. Islam. Repub, Iran* 13(3) (2002) 249–254.
- [52] Nezafati N., Herzig P.M., Pernicka E., Momenzadeh M., "Intrusion-related gold occurrences in the Astanéh–Sarband area, west central Iran. In: Mao J. Bierlein F.P. (ed.). Mineral Deposit Research Meeting: The Global Challenge", Springer (2005) 445–448. http://dx.doi.org/10.1007/3-540-27946-6_116.
- [53] Shakerardakani F., Neubauer F., Masoudi F., Mehrabi B., Liu X., Dong Y., Mohajel M., Monfaredi B., Friedl G., "Pan-african basement and Mesozoic gabbro in the Zagros orogenic belt in the Dorud–Azna region (NW Iran): Laser-ablation ICP–MS zircon ages and geochemistry", *Tectonophysics* 647–648 (2015) 146–171.
- [54] Chiu H.Y., Chung S. L., Zarrinkoub M. H., Mohammadi S.S., Khatib M. M., Iizuka Y., "Zircon U–Pb age constraints from Iran on the magmatic evolution related to Neotethyan subduction and Zagros orogeny", *Lithos* 162 (2013) 70–87.
- [55] Davoudian A. R., Genser J., Dachs E. Shabanian N., "Petrology of eclogites from north of Shahrekord, Sanandaj–Sirjan Zone, Iran", *Mineralogy and Petrology* (2008) 92: 393–413.
- [56] Vernon R. H., "A practical guide to rock microstructure", Cambridge University press (2004) 250-254.
- [57] Blenkinsop T., "Deformation Microstructures and Mechanism in Minerals and Rocks", Kluwer Academic Publishers (2002) 150.
- [39] Hafkenscheid E., Wortel M.J.R., Spakman W., "Subduction history of the Tethyan region derived from seismic tomography and tectonic reconstructions", *Journal of Geophysical Research: Solid Earth* 111(2006).
- [40] Mohajel M. Fergusson C., "Dextral transpression in Late Cretaceous continental collision Sanandaj–Sirjan zone western Iran", *Journal of Structure Geology* 22 (2000) 1125–1139.
- [41] Mohajel M., Fergusson C., Sahandi M.R., "Cretaceous–Tertiary convergence and continental collision, Sanadaj–Sirjan Zone, western Iran", *Journal Asian Earth Sciences* 21: (2003) 397–412.
- [42] Şengör A.M.C., Natal'in B.A., "Paleotectonics of Asia: fragments of a synthesis. In: Yin, A., Harrison, T.M., (Eds.), *The Tectonic Evolution of Asia*", Cambridge University Press, Cambridge (1996) 486–640.
- [43] McQuarrie M., "Crustal scale geometry of the Zagros fold–thrust belt. Iran", *Journal of Structure Geology* 26 (2004) 519–535.
- [44] Alirezaei S., Hassanzadeh J., "Geochemistry and zircon geochronology of the Permian A-type Hasanrobat granite, Sanandaj–Sirjan belt: a new record of the Gondwana break-up in Iran", *Lithos* 151 (2012) 122–134.
- [45] Moritz R., Ghazban F., Singer B.S., "Eocene gold ore formation at Muteh. Sanandaj–Sirjan tectonic zone, western Iran: a result of late stage extension and exhumation of metamorphic basement rocks within the Zagros orogen", *Economic Geology* 101 (8) (2006) 1497–1524.
- [46] Hassanzadeh J., Stockli D.F., Horton B.K., Axen G.J., Stockli L.D., Grove M., Schmitt A.K., Walker J.D., "U–Pb zircon geochronology of late Neoproterozoic–Early Cambrian granitoids in Iran: implications for paleogeography, magmatism, and exhumation history of Iranian basement", *Tectonophysics* 451 (2008) 71–96.
- [47] Braud J., "La suture du zagros au niveau de Kermanshah (Kurdistan Iranien): Reconstitution paléogéographique, évolution géodynamique, magmatique et structurale: Unpublished Ph.D thesis", Université de Paris-Sud (1987) 489.
- [48] Mahmoudi S., Corfu F., Masoudi F., Mehrabi B., Mohajel M., "U–Pb dating and emplacement history of granitoid plutons in the northern

- in the Ocean Basins", Geological Society [London] Special Publication 42 (1989) 313–345.*
- [69] Chen J.F., Jahn B.M., "Crustal evolution of southeastern China: Nd and Sr isotopic evidence", *Tectonophysics* 284 (1998) 101–133.
- [70] Wilson M., "Igneous petrogenesis: a global tectonic approach", Unwin Hyman, Winchester, Massachusetts, USA, 57(1990).
- [71] Gao S., "Chemical composition of the continental crust: a perspective from China", *Geochemical News* 143 (2010) 6.
- [72] Whalen J.B., Currie K.L., Chappell B.W., "A-type granites: geochemical characteristics, discrimination and petrogenesis", *Contributions to Mineralogy and Petrology* 95 (1987) 407–419.
- [73] Chappell B. W., White A. J. R., "I- and S-type granites in the Lachlan Fold Belt, southeastern Australia. In: Keqin X. & Guangchi T. eds. *Geology of Granites and Their Metallogenic Relations*", Science Press, Beijing (1984) 87–101.
- [74] Fiannacca P., Brotzu P., Cirrincione R., Mazzoleni P., Pezzino A., "Alkali metasomatism as a process for trondhjemite genesis: evidence from Aspromonte Unit, north-eastern Peloritani, Sicily", *Mineralogy and Petrology* 84 (2005) 19–45.
- [75] Rogers G., Hawkesworth C. J., "A geochemical traverse across the North Chilean Andes: evidence for crust generation from the mantle wedge", *Earth and Planetary Science Letters* 91 (1989) 271–285.
- [76] Wu F., Sun D., Huimin L., Jahn B., Wilds S., "A-type granites in northeastern China: age and geochemical constraints on their petrogenesis", *Chemical Geology* 187 (2002) 143–173.
- [77] Pearce J. A., Harris N. B.W., Tindle A.G., "Trace element discrimination diagrams for the tectonic interpretation of granitic rocks", *Journal of Petrology* 25 (1984) 956–983.
- [78] Eby G.N., "Chemical subdivision of the A-type granitoids: petrogenetic and tectonic implications", *Geology* 20: 641–644.
- [58] Jensen L. N., Starkey J., "Plagioclase microfabrics in a ductile shear zone from the Jotun nappe, Italy", *Journal of Structure Geology*, 7 (1985) 527–539.
- [59] Bea F., "Residence of REE, Y, Th and U in granites and crustal protoliths: implications for the geochemistry of crustal melts", *Journal of Petrology*, 37 (1996) 521–552.
- [60] Wilson M., "Igneous petrology", Chapman & Hall, (1994).
- [61] Whitney D. L., Evans B. W., "Abbreviations for names of rock-forming minerals", *American Mineralogist* 95 (2010) 185–187.
- [62] Middlemost E.A.K., "Magmas and magmatic rocks", Longman (1986).
- [63] Frost B. R., Barnes G. G., Collins W. J., Arculus R. J., Ellis D. J., Frost C. D., "A geological classification for granitic rocks", *Journal of Petrology* 42 (2001) 2033–2048.
- [64] Irvine T.N., Baragar W.R.A., "A guide to the chemical classification of common volcanic rocks", *Canadian Journal of Earth Science* 8 (1971) 523–548.
- [65] Kaur P., Chaudhri N., Hofmann A. W., Raczek I., Okrusch M., Skora S., Baumgartner L.P., "Two-stage, extreme albitisation of A-type granites from Rajasthan, NW India", *Journal of Petrology* 53 (2012) 919–948.
- [66] Boynton W.V., "Cosmochemistry of the rare earth elements: Meteorite studies Rare Earth Element Geochemistry. Developments in Geochemistry 2 (Henderson. R. Ed.), Elsevier", Amsterdam (1984) 89–92.
- [67] Tepper J. H., Nelson B. K., Bergantz G. W., Irving A. J., "Petrology of the Chilliwack batholith, North Cascades, Washington: generation of calc-alkaline granitoids by melting of mafic lower crust with variable water fugacity", *Contributions to Mineralogy and Petrology* 113 (1993) 333–351.
- [68] Sun S. S., McDonough W. F., "Chemical and isotopic systematic of ocean basalts: implication for mantle composition and processes, In: Saunders, A. D., Norry, M. J., (Eds.). *Magmatism*